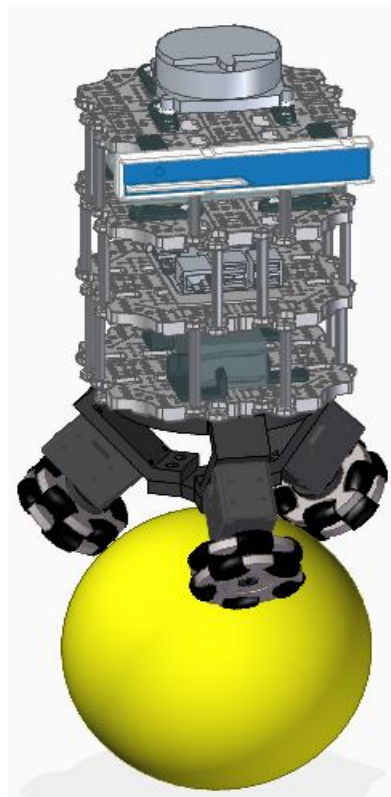


Aufbau und Regelung eines Ballbots



TECHNISCHE
UNIVERSITÄT
DARMSTADT

Florian Müller, Markus Lamprecht, Michael Suffel
Projektseminar
Betreuer: Dr.-Ing. Eric Lenz



Motivation



Abb. 1.1: Humanoider Ballbot [1]



Abb. 1.2: Humanoider Roboter [2]

1. Konstruktion

2. Modellbildung und Regelung

3. Implementierung

4. Simulation

5. Ausblick

1. Konstruktion

Konzeptionierung

Unter Zuhilfenahme
bestehender
Ballbot-Konzepte



Abb. 1.3: Ballbot REZERO [3]

Unter Zuhilfenahme
eines modelbasierten
Konzeptes

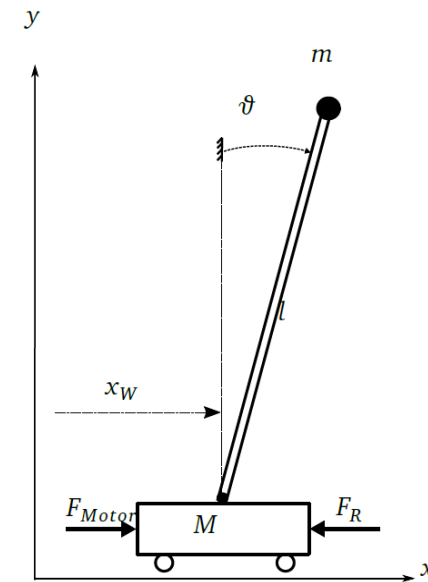
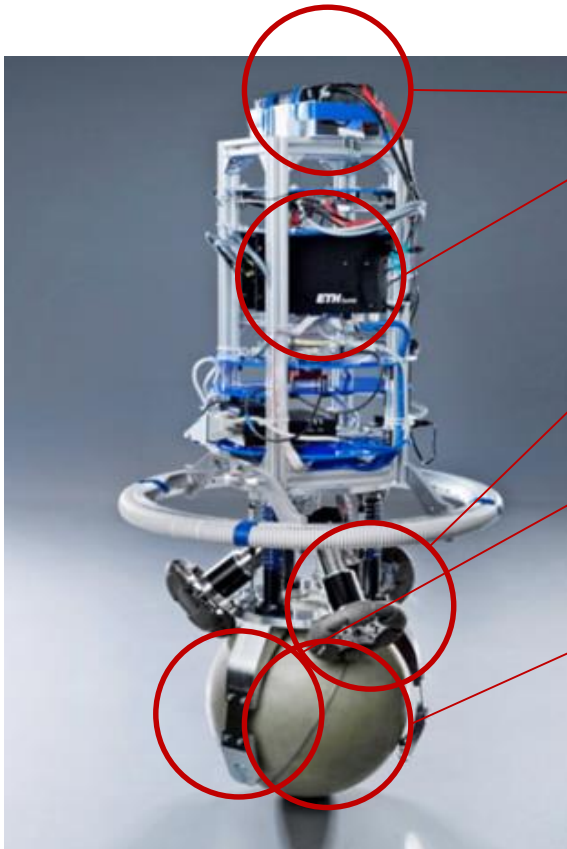


Abb. 1.4: Inverses Pendel auf einem Schlitten [4]

1. Konstruktion

Analyse bestehender Ballbots



- Verlagerung des Schwerpunktes nach oben
- Sehr präzise gefertigte omnidirektionale Räder
- Ball-Arrester
- Harte Kugel mit sehr hohem Reibkoeffizienten

Abb. 1.5: Ballbot REZERO [3]

1. Konstruktion

Oberbau – 1. Prototyp

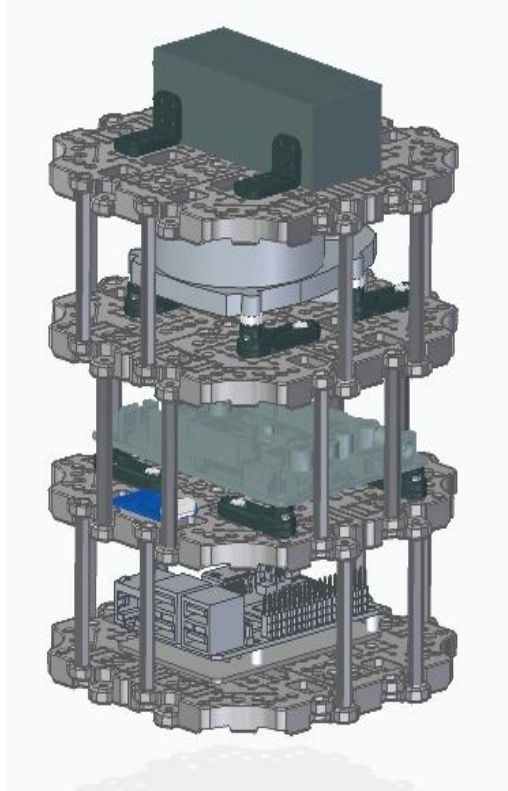


Abb. 1.6: Ballbot Oberbau

Vorteile:

- Hoher Schwerpunkt
- Stabiles Gerüst

Nachteile:

- Ungeeignete Platzierung der Sensoren
- Schlechtes Regelverhalten aufgrund von Schlupf zwischen Omniwheels und Ball

1. Konstruktion

Oberbau - Analyse modelbasiertes Konzept

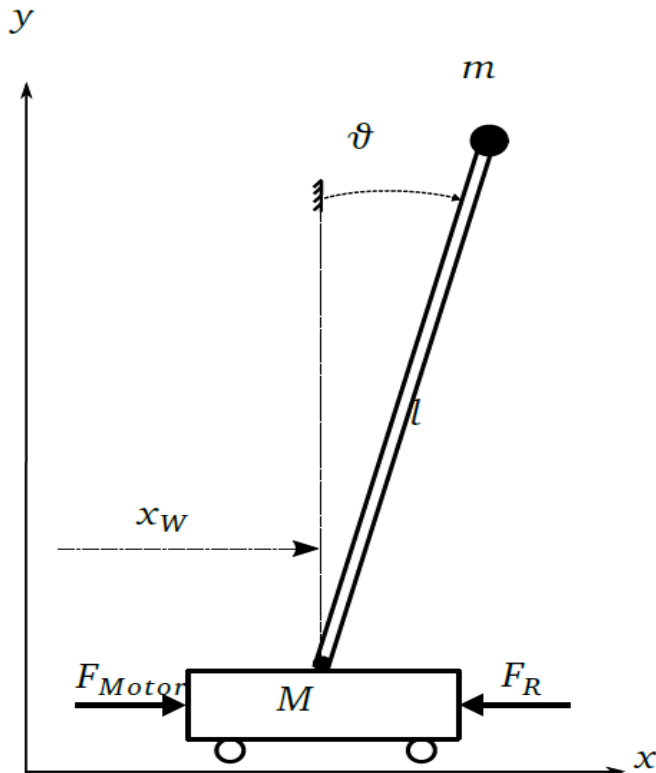


Abb. 1.7: Inverses Pendel
auf einem Schlitten [4]

Dynamische Gleichungen:

$$\ddot{\vartheta} = \frac{3}{4 \cdot l} \cdot [-\cos \vartheta \cdot \ddot{x}_w + g \cdot \sin \vartheta]$$

$$\ddot{x}_w = \frac{F_{\text{motor}} - F_{\text{Reib}}}{M + m} + \frac{m \cdot l}{M + m} \cdot \dot{\vartheta}^2 \cdot \sin \vartheta - \ddot{\vartheta} \cdot \cos \vartheta$$

Erkenntnisse:

- $l \downarrow \rightarrow \ddot{\vartheta} \uparrow$ und $\ddot{x}_w \downarrow$
- $l \uparrow \rightarrow \ddot{\vartheta} \downarrow$ und $\ddot{x}_w \uparrow$

1. Konstruktion

Oberbau - 2. Prototyp



Abb. 1.9: Oberbau mit Hardware

Eigenschaften:

- Verbessertes Regelungsverhalten
- Stabiles Gerüst
- Bessere Platzierung der Sensoren

1. Konstruktion

Unterbau - Layout

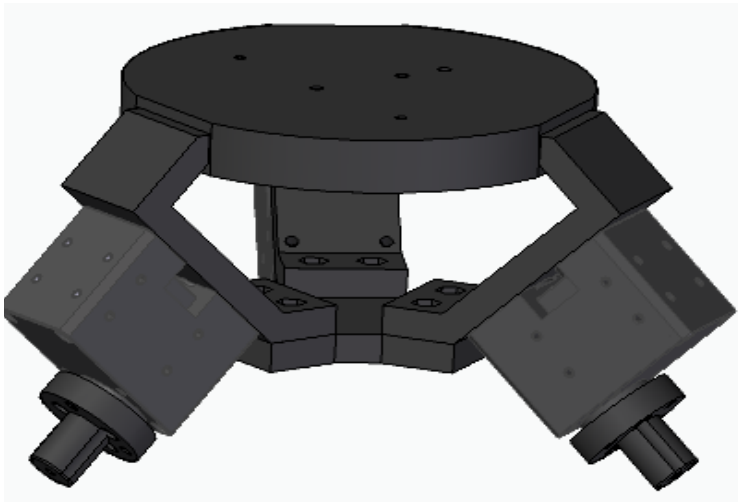


Abb. 1.10: Unterbau - Gesamt

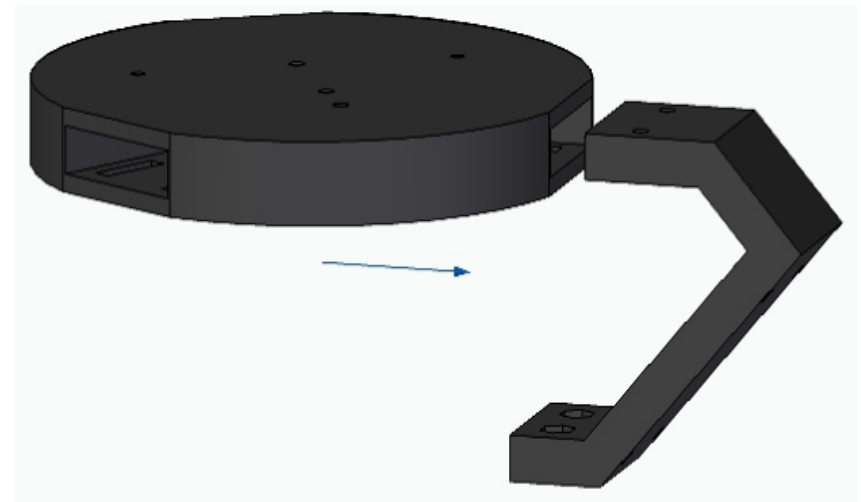
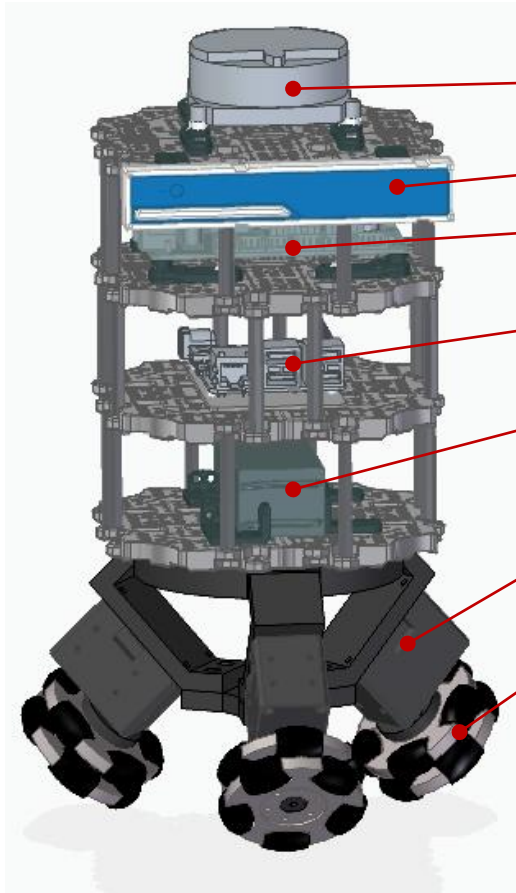


Abb. 1.11: Teleskopsystem

1. Konstruktion

Ergebnis



Vergebaute Hardware:

- Lidar: LDS-01 (Lokalisierung)
- Kamera: Intel Realsense R200 (Lokalisierung)
- OpenCR-Board: IMU MPU-9250 (Stabilisierung)
- Up-Board (ROS)
- Batterie: LI-PO 11.1V 1800 mAh
- Servomotoren: Dynamixel XM430-W350T
- Omniwheels

Abb. 1.12: Hardwarekomponenten Ballbot

2. Modellbildung und Regelung Einführung

- Aufteilung in eine yz-, xz- und xy-Ebene
- System bestehend aus Kugel, virtuellem Rad und Körper je Ebene

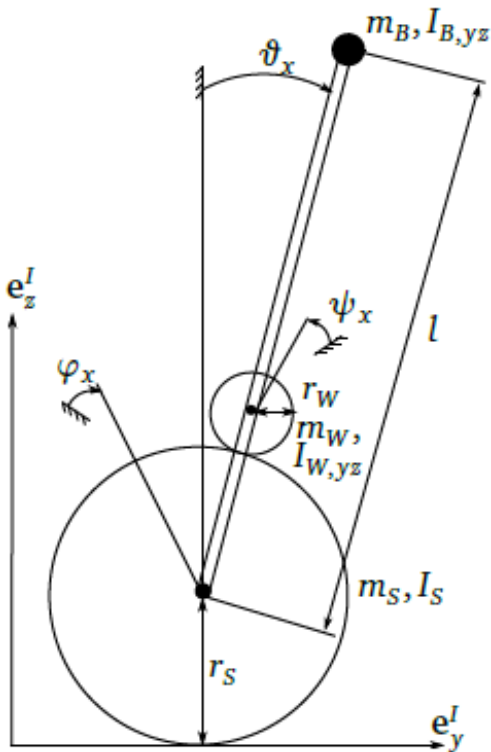


Abb. 2.1: Darstellung yz-Ebene [5]

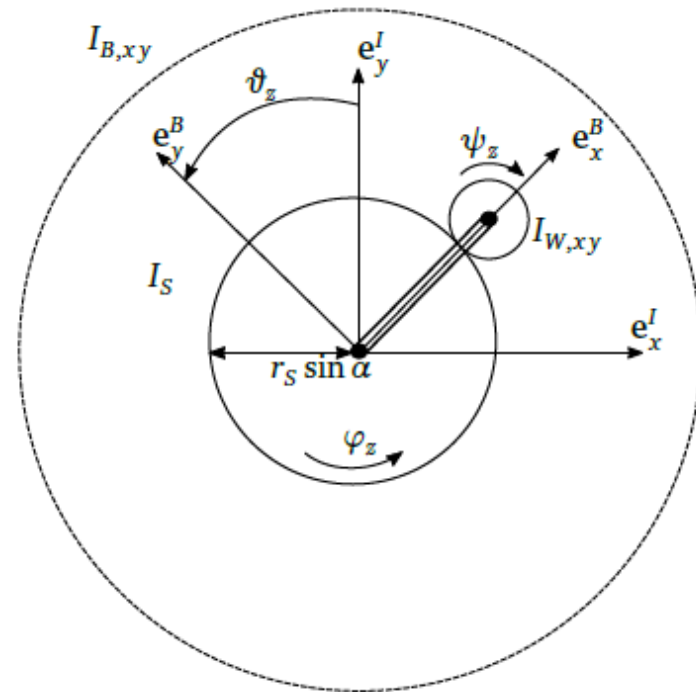


Abb. 2.2: Darstellung xy-Ebene [6]

2. Modellbildung und Regelung Bewegungsgleichungen

- Festlegen minimale Koordinate (yz-Ebene):

$$\mathbf{q}_{yz} = \begin{bmatrix} \varphi_x \\ \vartheta_x \end{bmatrix}$$

- Nichtlineare Bewegungsgleichungen in Matrixform (yz-Ebene):

$$\mathbf{M}_x(\mathbf{q}, \dot{\mathbf{q}}) \cdot \ddot{\mathbf{q}} + \mathbf{C}_x(\mathbf{q}, \dot{\mathbf{q}}) + \mathbf{G}_x(\mathbf{q}) = \mathbf{f}_{NP,yz}$$

- Mit Zustandsvektor $\mathbf{x} = [\varphi_x \quad \vartheta_x \quad \dot{\varphi}_x \quad \dot{\vartheta}_x]$ in folgende Form:

$$\dot{\mathbf{x}}_{nl} = \begin{bmatrix} \dot{\mathbf{q}} \\ \ddot{\mathbf{q}} \end{bmatrix} = \begin{bmatrix} \dot{\mathbf{q}} \\ \mathbf{M}_x^{-1} \cdot \left(\mathbf{f}_{NP,yz} - (\mathbf{C}_x + \mathbf{G}_x) \right) \end{bmatrix}$$

2. Modellbildung und Regelung

Zustandsraummodell und Reglerentwurf

- Linearisierung mit Taylor-Reihenentwicklung um $x_0 = [0 \ 0 \ 0 \ 0]$
- Gleichgewichtslage Roboter von Interesse $\rightarrow x^* = [\vartheta_x \ \dot{\vartheta}_x]$

$$A^* = \begin{bmatrix} 0 & 1 \\ 17,11 & 0 \end{bmatrix} \quad B^* = \begin{bmatrix} 0 \\ -10,69 \end{bmatrix} \quad C^* = \begin{bmatrix} 1 & 0 \\ 0 & 1 \end{bmatrix} \quad D^* = \begin{bmatrix} 0 \\ 0 \end{bmatrix}$$

- Minimierung folgendes Gütemaß:

$$J = \int_0^\infty (x^T(t) \cdot Q \cdot x(t) + u^T(t) \cdot R \cdot u(t)) dt \quad (2.6)$$

mit: Trajektorienverlauf: $Q = \begin{bmatrix} 100 & 0 \\ 0 & 50 \end{bmatrix}$

Stellgrößenverlauf: $R = 200$

2. Modellbildung und Regelung Matlab/SIMULINK

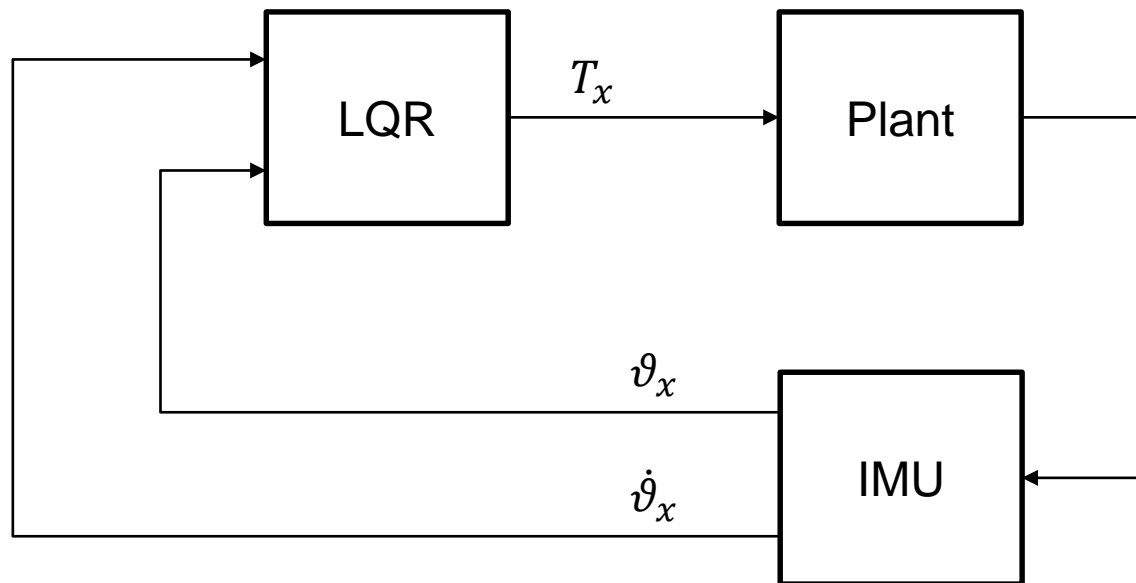


Abb. 1.12: Regelungsprinzip

2. Modellbildung und Regelung Matlab/SIMULINK

Anpassung an reale Gegebenheiten:

- Verrauschte Sensorsignale: weißes Rauschen (Datenblatt)

Auslesen/Verarbeiten Sensorsignale:

- aktualisierte Sensordaten (IMU) nur zu bestimmten Zeitabständen
- additiv aus:
 - Aktualisierungsfrequenz IMU (200Hz)
 - Auslesen/Verarbeiten Sensordaten(<<1ms)
 - „Schreiben“ Drehmomente (3ms)
- Abtastfrequenz $f_{Abt} = 125 \text{ Hz}$
- Simulink-Modell: Abtast-Halteglied und Totzeitglied

3. Implementierung Programmaufbau

Entwicklungsumgebung:

ArduinoIDE, Unterstützung OpenCR-Board ab Version 1.6.4

Grundstruktur Arduino-Programm:

- setup()-Methode
- loop()-Methode

Regelungsprogramm

- Interrupt-Routine (HardwareTimer)
- readIMU(): Einlesen Sensordaten
- computeController(): Berechnung Regelgesetz
- computeTorque(): Umrechnung/Ausgabe

auf Stromwerte

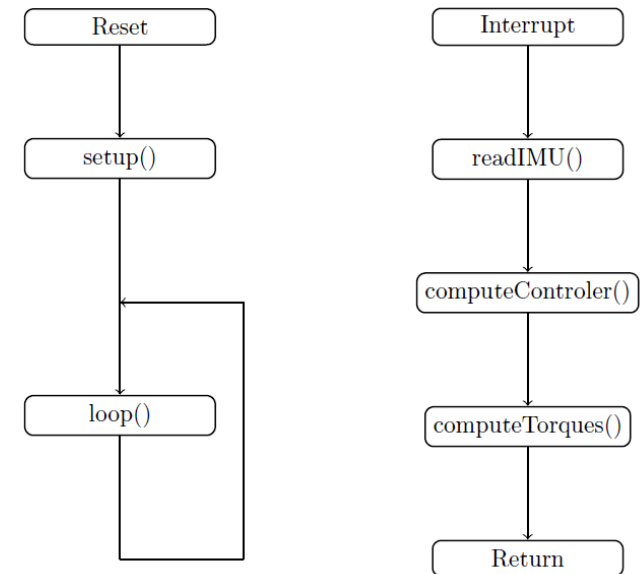


Abb. 3.1: Hauptprogramm und Serviceroutine

3. Implementierung Anpassungen

Filterung Messrauschen:

Letzten drei Sensorwerte gespeichert, aufsummiert und Mittelwert gebildet

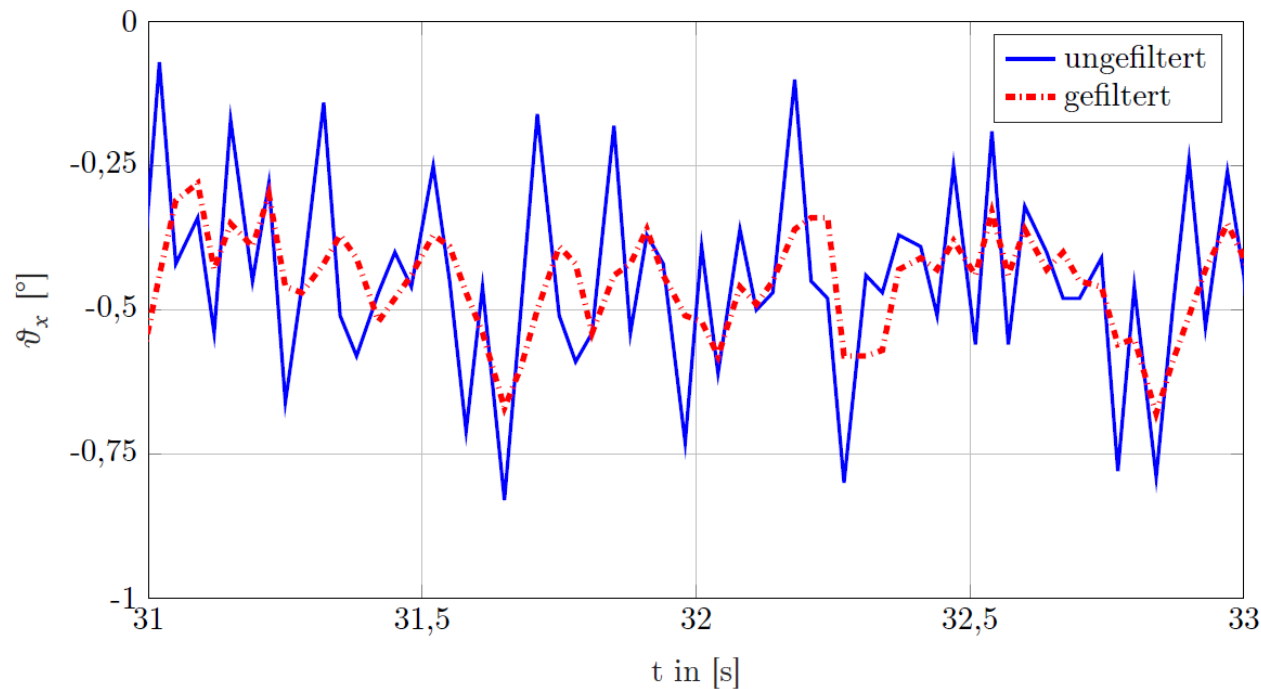


Abb. 3.2: Vergleich ungefilterte(blau) und gefilterte Messwinkel

3. Implementierung

Berücksichtigung Motoreigenschaften

Bestimmung der jeweiligen
Drehmoment-Offsets:



Abb. 3.3: Hardwarekomponenten Ballbot

Bestimmung der jeweiligen
Drehmoment-Konstanten:

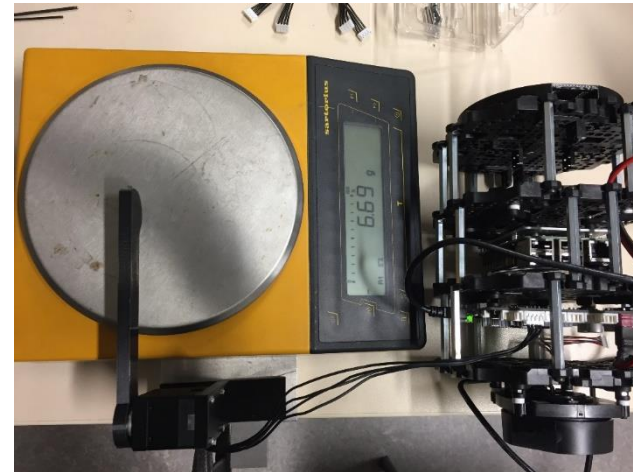


Abb. 3.4: Hardwarekomponenten Ballbot

Motor 1:

- 125,53 Units/Nm
- Offset: 71 mNm

Motor 2:

- 132,82 Units/Nm
- Offset: 90 mNm

Motor 3:

- 207,1 Units/Nm
- Offset: 53 mNm

4. Simulation

Übersicht - Simulatoren



GAZEBO

Vorteile:

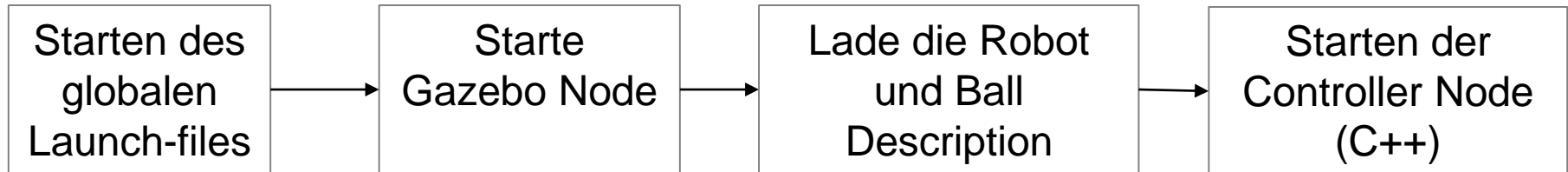
- Standardsimulator von ROS
- Open-Source



Vorteile:

- Geringere CPU-Auslastung
- Benutzerfreundliches Interface

4. Simulation Ablauf



```
<!-- macro for wheels and their joints: -->
<xacro:macro name="wheel_link_joint_macro" params="pos *joint_origin">
  <joint name="wheel${pos}_joint" type="continuous">
    <parent link="body_link" />
    <child link="wheel${pos}_link" />
    <xacro:insert_block name="joint_origin" />
    <axis xyz="1 0 0" />
    <limit effort="${XM430_W350_R_max_effort}" velocity="${XM430_W350_R_max_velocity}" />
    <dynamics friction="${wheel_joint_friction}" damping="${wheel_joint_damping}" />
  </joint>

  <link name="wheel${pos}_link">
    <visual>
      <geometry>
        <mesh filename="package://ballbot_description/wheel.stl" scale="0.001 0.001 0.001" />
      </geometry>
    </visual>
    <inertial>
      <mass value="${mass_wheel}" />
      <inertia ixx="2.75e-5" ixy="0.0" ixz="0.0" iyy="1.718e-5" iyz="0.0" izz="1.718e-5" />
    </inertial>
  </link>
</xacro:macro>
```

Abb. 4.1: Ballbot Description macro

4. Simulation Ergebnisse

Simulations-Ergebnisse:

- Regelung stabilisiert Ballbot
- Bestätigung der gewünschten Balleigenschaften (hoher Reibwert, große Steifigkeit)
- Simulation der Sensoren durch Einbindung von Plugins
- Drehzahl-Begrenzung der Motoren verhindert stabiles Regelverhalten

4. Simulation

Auswirkung der Drehzahlbegrenzung

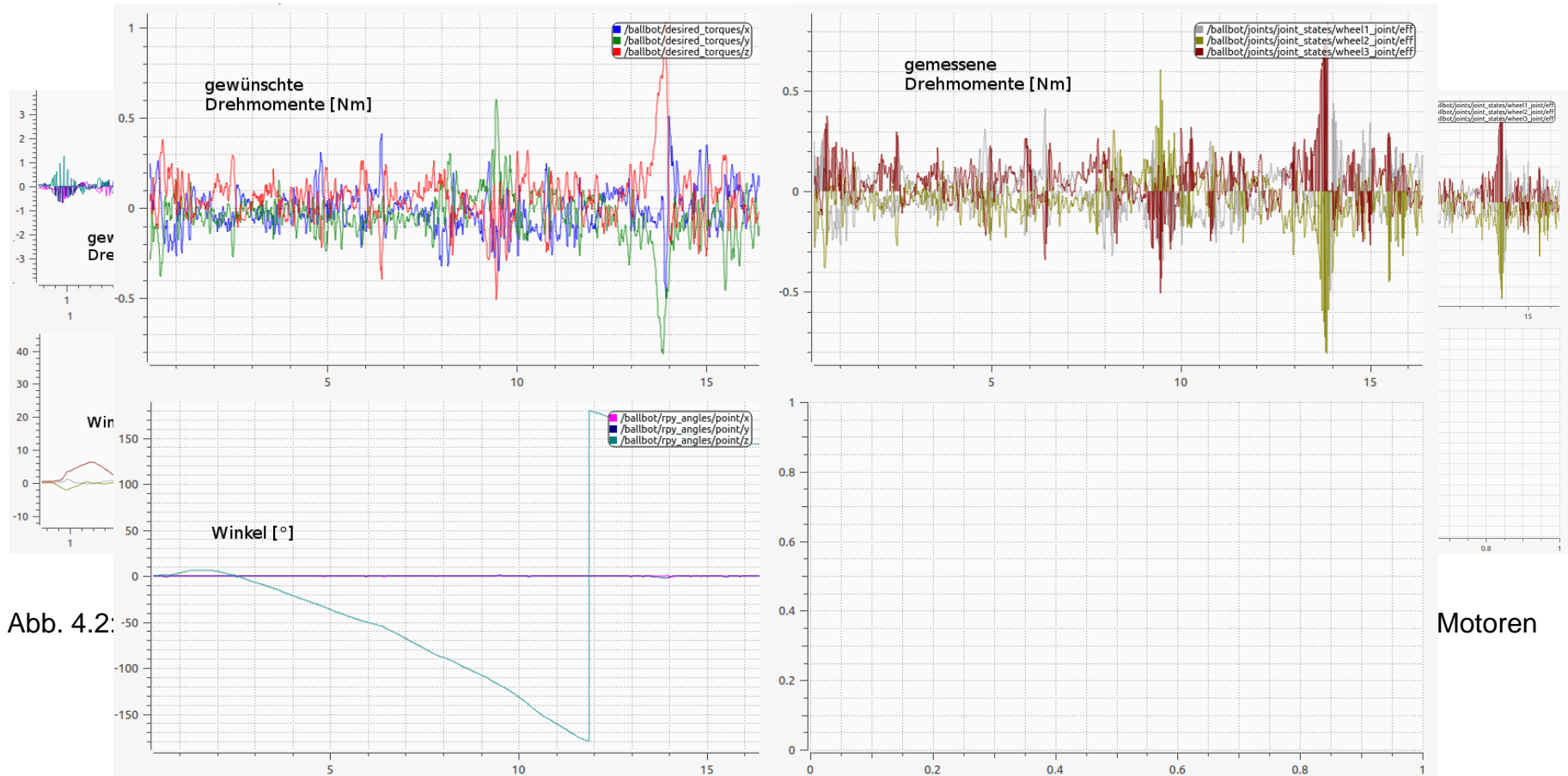


Abb. 4.2: Simulation mit begrenzter Drehzahl der Motoren

4. Simulation Herausforderungen

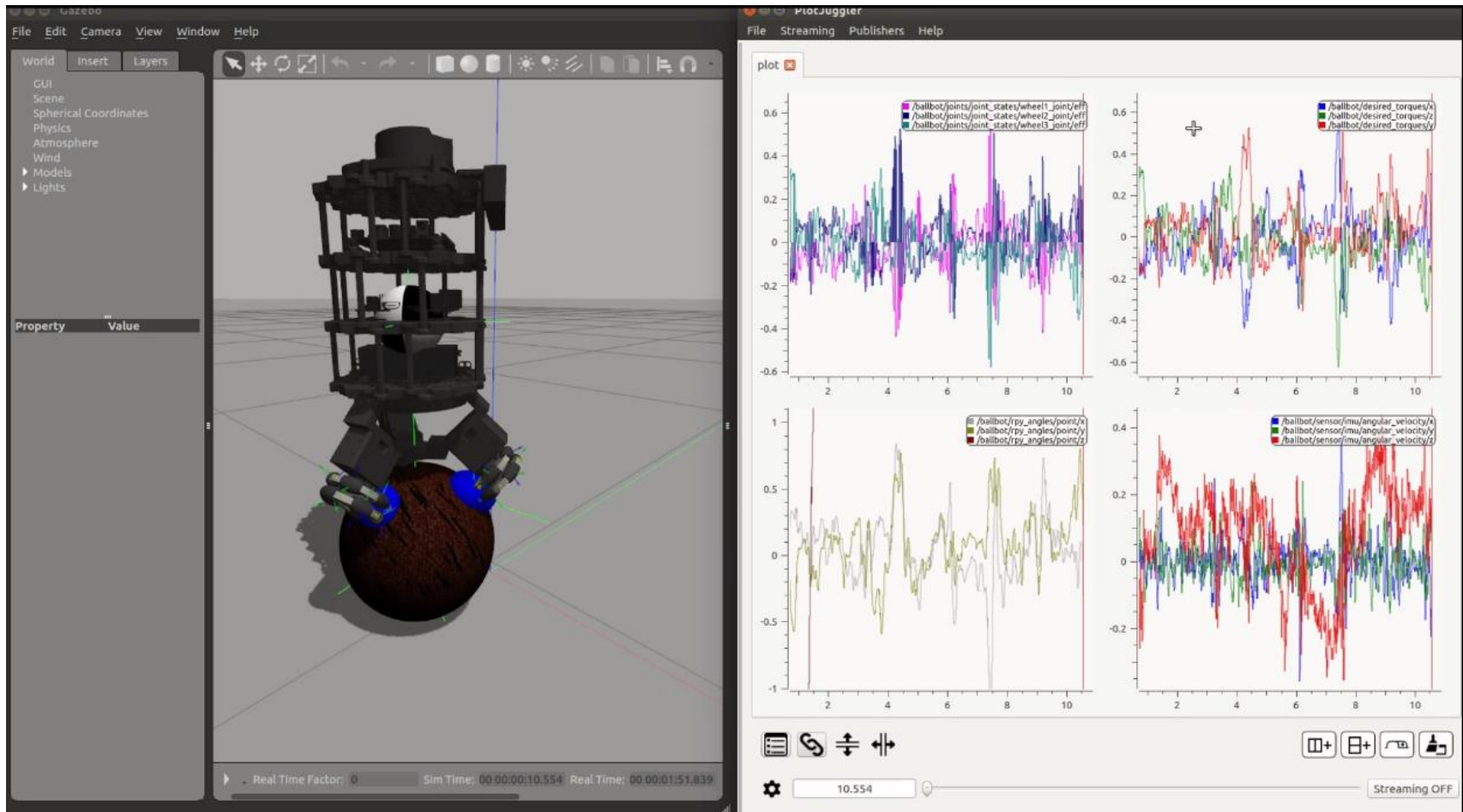


Abb. 4.4: Gazebo in Verbindung mit PlotJuggler

5. Zusammenfassung und Ausblick

Was wir erreicht haben:

- Stabile mechanische Konstruktion
- Regelung und Simulation mit Simulink
- 3D Simulation mit Gazebo
- Stabiles Regelverhalten

Weiterführende Arbeiten:

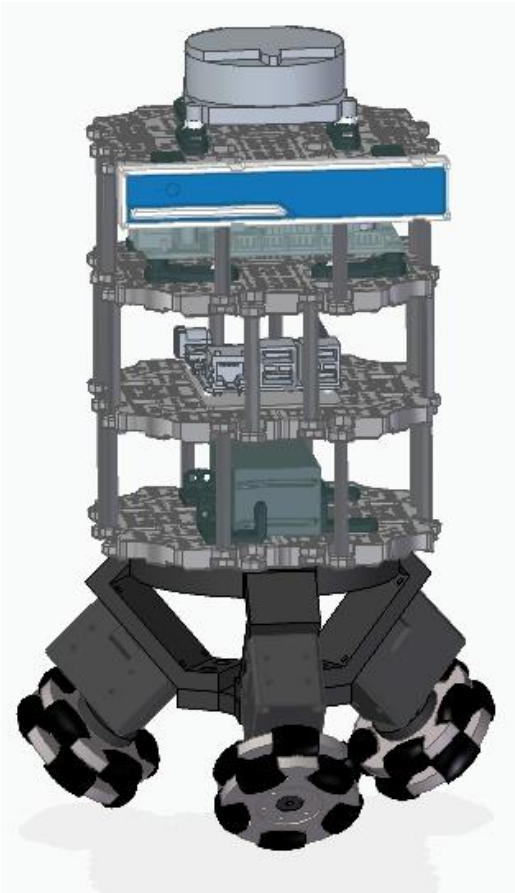
- Ball: höhere Steifigkeit sowie größerer Reibkoeffizient
- Motoren: Motoren mit größerer maximalen Drehzahl
- IMU: Leistungsfähigere Hardware einbauen (Rauschminderung)
- Ball-Arrester: Stabilisierung des Gesamtsystems
- Modellbildung: 3D-Regelung (Berücksichtigt Verkopplungen)

Ab hier zusatzfolien



TECHNISCHE
UNIVERSITÄT
DARMSTADT

1. Konstruktion Ergebnis



Vorteile:

- Stabiles Regelverhalten
- Schlupf konnte reduziert werden
- Stabiler Aufbau
- Optimale Sensorplatzierung

Abb. 1.8: Mechanischer Endaufbau

1. Konstruktion

Oberbau - Hardware

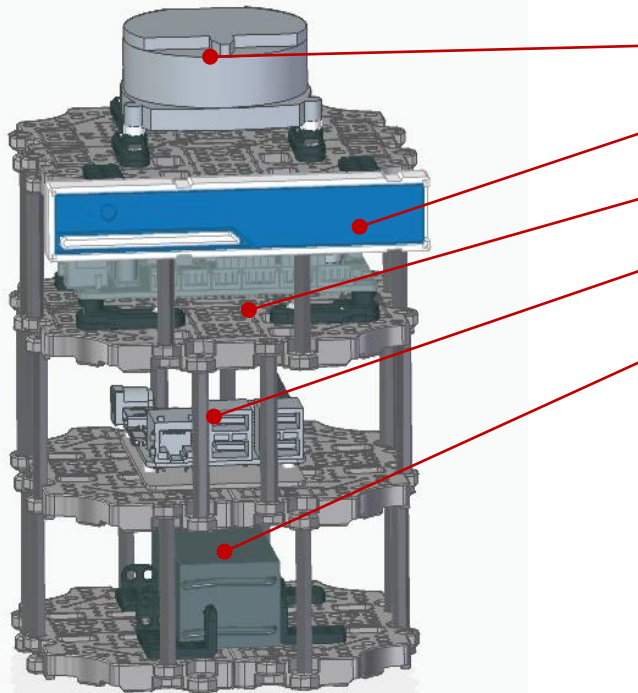


Abb. 1.9: Oberbau mit Hardware

Vergebaute Hardware:

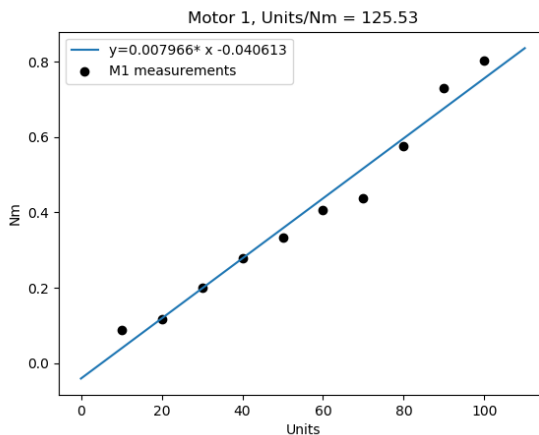
- Lidar: LDS-01 (Lokalisierung)
- Kamera: Intel Realsense R200 (Lokalisierung)
- OpenCR-Board: IMU MPU-9250 (Stabilisierung)
- Up-Board (ROS)
- Batterie: LI-PO 11.1V 1800mAh

Eigenschaften:

- Schwerpunkt: 236 mm
- Durchmesser: 140 mm
- Höhe Körper: 336 mm
- Gewicht: 1731 g

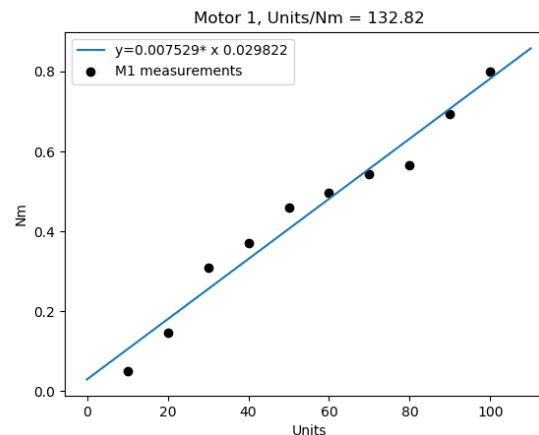
1. Konstruktion

Berücksichtigung der jeweiligen Motoreigenschaften:



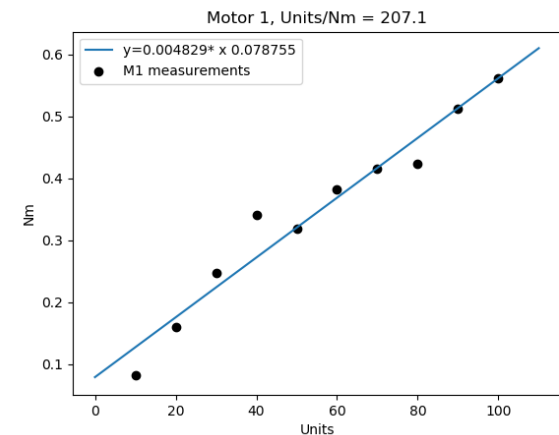
Motor 1:

- 125,53 Units/Nm
- Offset:



Motor 2:

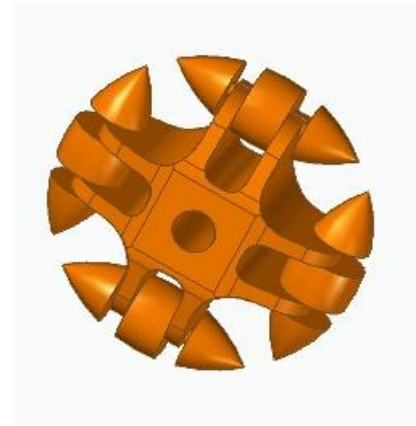
- 132,82 Units/Nm
- Offset:



Motor 3:

- 207,1 Units/Nm
- Offset:

1. Konstruktion Räder



1. Konstruktion

Anbindung der Motoren:



Servomotoren Dynamixel XM430 W350T:

- Drehmoment: 3,8NM bei 11.1V
- No Load Speed: 43rpm
- Kommunikation: RS485-Protokoll
- Positions-Regelung
- Drehzahl-Regelung
- Drehmoment-Regelung

Nachteile:

- Schmales Drehzahlband
- Ungenaue Drehmomentregelung für einmalige Drehmomentbefehle

1. Konstruktion

Design Unterbau

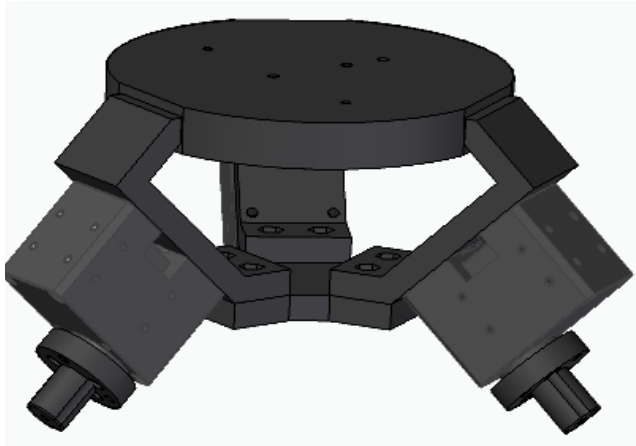


Abb. 1.11: Unterbau Design

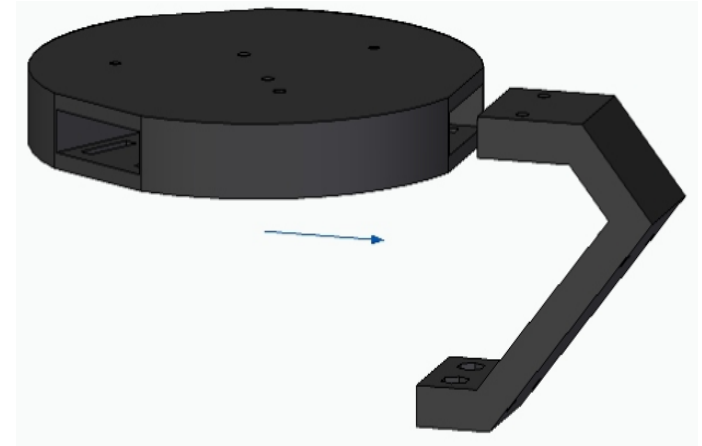


Abb. 1.12: Teleskopsystem

Eigenschaften:

- Stabile und zugleich flexible Konstruktion
- Durchmesser: 140 mm
- Auslegbar für Bälle mit Durchmessern zwischen 150 mm – 190 mm

4. Implementierung Anpassungen

Drehmoment-Offset:

Grund: Reibung zwischen Räder/Ball bei Modellbildung vernachlässigt

1. Konstruktion

Unterbau - Layout

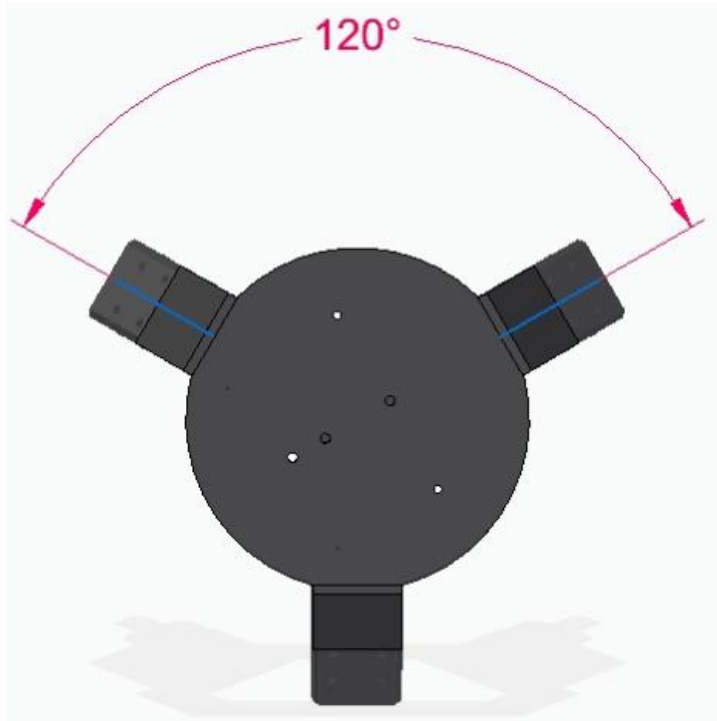


Abb. 1.10: Draufsicht Unterbau

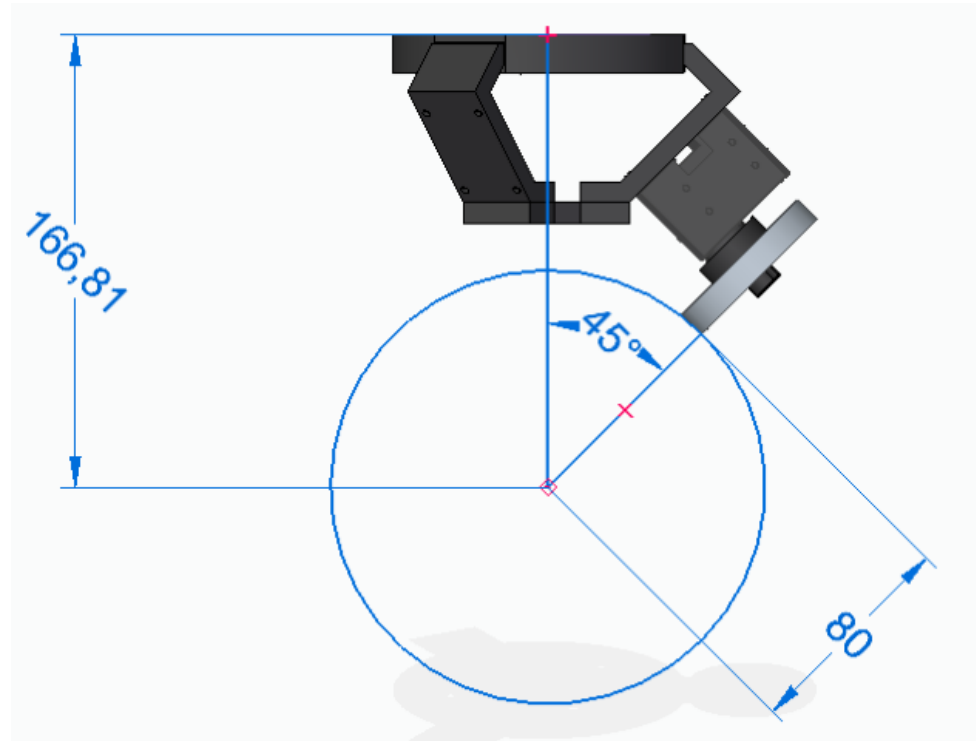


Abb. 1.11: Seitenansicht Unterbau

4. Simulation

Auswirkung der Drehzahlbegrenzung

